

П. П. Кузир, П. Г. Кузир, Г. И. Гульков, А. Л. Руденя

ОПРЕДЕЛЕНИЕ СВОБОДНОЙ ГРАНИЦЫ СМАЗОЧНОГО СЛОЯ МАГНИТОЖИДКОСТНОГО ПОДШИПНИКА

Определена свободная граница смазочного слоя магнитоожидкостного подшипника в условиях действия магнитного поля и статической нагрузки. Решение получено совместным интегрированием уравнения Рейнольдса и уравнения свободной границы методом разложения по малому параметру — эксцентриситету вала. Показано, что магнитное поле формирует свободные границы смазочного слоя и уменьшает кавитационную полость, препятствуя вытеканию смазки из подшипника.

Ключевые слова: магнитоожидкостный подшипник, магнитная жидкость, математическая модель, смазочный слой, распределение давления.

Введение. Магнитоожидкостные подшипники скольжения находят широкое применение в прецизионной технике: шпиндели жестких дисков компьютеров, сканеры, гироскопы ориентационных систем миниспутников и т. п. Они сочетают в себе преимущества гидродинамических подшипников (большая жесткость, хорошее демпфирование вибраций на высоких скоростях, низкий уровень шума) и способность к самоуплотнению магнитоожидкостной смазки. Магнитная жидкость, представляющая собой высокоустойчивый коллоидный раствор магнитных наночастиц в смазочной жидкости [1], удерживается в зазоре подшипника магнитным полем.

В последнее время исследованию магнитоожидкостных подшипников уделяется большое внимание. Их статические и динамические характеристики представлены в [2–11], экспериментальные — в [12–15], обзор конструкций и применений — в [16]. В работе [10] рассмотрен магнитоожидкостный опорный подшипник, работающий под нагрузкой и в условиях кавитации магнитной жидкости, и теоретически показано, что магнитное поле снижает объемный расход вытекающей жидкости. Это объясняется интенсивным перетеканием магнитоожидкостной смазки внутрь подшипника в направлении кавитационной полости.

Обычно при исследовании процессов, происходящих в смазочном слое, рассматривается идеализированная модель подшипника (рис. 1, а), в которой смазочный слой заполняет весь зазор подшипника и имеет прямые и фиксированные границы. В действительности же смазочный слой заполняет не весь зазор, а удерживается лишь в центральной части подшипника. Под действием внешней нагрузки вращающийся вал смещается от центрального положения к обечайке подшипника, при этом создается высокое давление в сужающейся части смазочного слоя и низкое давление в расширяющейся части. В области высокого давления смазочного слоя магнитная жидкость стремится вытечь наружу к торцам подшипника, а в области низкого давления — внутрь подшипника. Это означает, что боковые границы смазочного слоя не фиксированы, а свободно перемещаются и деформируются, что и объясняет термин "свободные границы". При определенных условиях деформация границ смазочного слоя прекращается и смазочный слой принимает неправильную форму (рис. 1, б). Если давление в смазочном слое превысит допустимое, то его свободные границы достигнут торцов подшипника и смазка начнет вытекать наружу.

Форма свободной границы немагнитного смазочного слоя опорных подшипников скольжения со спиральными канавками была рассмотрена в [17, 18], а для сферических и конических подшипников — в [19]. Авторы показали, что свободная граница нагруженных подшипников имеет колоколообразную форму и становится более искривленной при увеличении нагрузки и эксцентриситета вала, а также проанализировали влияние формы спиральных канавок на свободную границу немагнитного смазочного слоя.

В данной работе представлены результаты теоретического исследования формы свободной границы магнитоожидкостного опорного подшипника скольжения в условиях действия магнитного поля и статической нагрузки. Разработана математическая модель, приведен метод решения, определены форма свободной границы смазочного слоя и распределение давления в объеме смазочного слоя.

Математическая модель магнитоожидкостного опорного подшипника скольжения. Рассмотрим опорный подшипник скольжения с магнитоожидкостной смазкой, находящийся под действием внешней статической

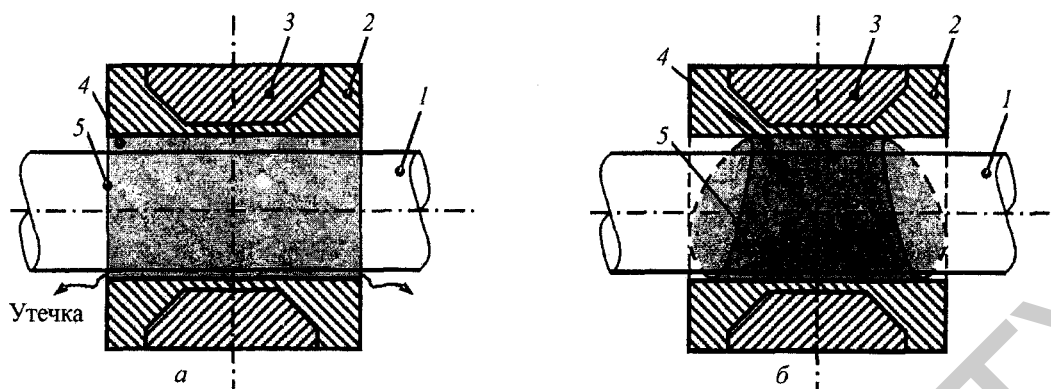


Рис. 1. Схематичное изображение магнитожидкостного подшипника с фиксированной границей смазочного слоя (а) и со свободной границей (б): 1 — вал; 2 — немагнитная обечайка подшипника; 3 — постоянный магнит; 4 — магнитная жидкость; 5 — боковые границы смазочного слоя (передняя — а и задняя — б)

нагрузки. Поперечное сечение подшипника представлено на рис. 2. Проекция смазочного слоя на поверхность вала с координатами (θ, z) схематично показана на рис. 3.

При разработке математической модели магнитожидкостного опорного подшипника скольжения принимаются следующие допущения:

1. Соосность вала и обечайки в процессе работы подшипника не нарушается, при этом толщина смазочного слоя h зависит только от полярной координаты, т. е.

$$h = h(\theta) = C + e \cos(\theta). \quad (1)$$

2. Динамические усилия и вызываемые ими колебания системы ротор–подшипник отсутствуют, поэтому считаем

$$\frac{\partial h}{\partial t} = 0, \quad \frac{\partial \xi}{\partial t} = 0.$$

3. Течение в смазочном слое принимаем ламинарным, что позволяет пренебречь инерционными членами в уравнении Рейнольдса.

4. Магнитная жидкость является ньютоновской текучей средой с вязкостью, не зависящей от магнитного поля, что, как правило, справедливо для магнитных жидкостей на основе масел с низким молекулярным весом.

5. Термические эффекты не учитываются, поэтому вязкость и плотность магнитной жидкости считаются постоянными в каждой точке смазочного слоя, что оправдано для магнитных жидкостей с высоким индексом вязкости при низкой и средней скоростях вращения вала.

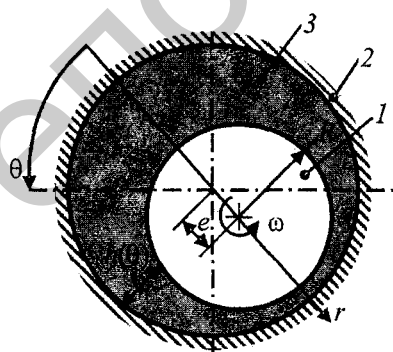


Рис. 2. Поперечное сечение подшипника (полярный угол θ отсчитывается от точки минимума толщины смазочного слоя против часовой стрелки): 1 — вал; 2 — немагнитная обечайка подшипника; 3 — смазка

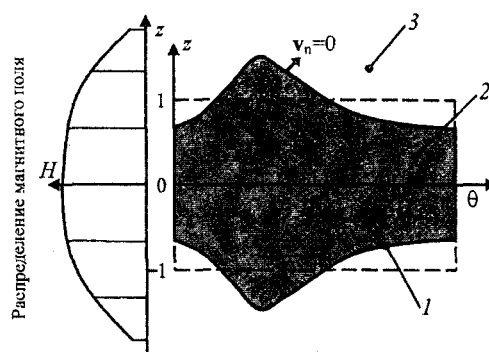


Рис. 3. Форма свободной границы: 1 — свободная граница; 2 — смазочный слой; 3 — окружающая среда

6. Источником магнитного поля является постоянный магнит, создающий напряженность магнитного поля с параболическим распределением по оси вала z (см. рис. 3):

$$H(z) = H_0 (1 - az^2). \quad (2)$$

Напряженность магнитного поля обладает осевой симметрией и постоянна по толщине на любой окружности смазочного слоя.

7. Магнитная жидкость однородно намагничена во всем смазочном слое до намагниченности M , равной намагниченности насыщения M_s при $H \gg M_s \sim 5 \cdot 10^4$ А/м. При этом выражение для магнитного давления в магнитной жидкости описывается выражением [1]:

$$\mu_0 \int M dH = \mu_0 M_s H.$$

8. Капиллярный и магнитный скачки давления, а также нормальные вязкие напряжения на свободной границе смазочного слоя не учитываются, что позволяет считать давление $p(\theta, \xi(\theta))$ в смазочном слое у свободной границы равным атмосферному давлению p_0 , т. е.

$$p(\theta, \xi(\theta)) = p_0. \quad (3)$$

9. Кавитационная полость определяется упрощенно как область смазочного слоя, в которой давление p ниже давления кавитации p_{cav} , причем давление в кавитационной полости принимается равным давлению кавитации:

$$p \equiv \begin{cases} p, & \text{если } p > p_{cav}, \\ p_{cav}, & \text{если } p \leq p_{cav}. \end{cases} \quad (4)$$

С учетом приведенных выше допущений уравнение Рейнольдса для распределения давления $p(\theta, z)$ имеет следующий вид [10]:

$$\frac{1}{R^2} \frac{\partial}{\partial \theta} \left(\frac{h^3}{12\eta} \frac{\partial p}{\partial \theta} \right) + \frac{\partial}{\partial z} \left(\frac{h^3}{12\eta} \frac{\partial p}{\partial z} \right) = \frac{\omega}{2} \frac{dh}{d\theta} + \frac{d}{dz} \left(\frac{h^3}{12\eta} \mu_0 M \frac{dH}{dz} \right). \quad (5)$$

Свободные границы смазочного слоя в процессе функционирования подшипника остаются неподвижными при выполнении двух условий: составляющая скорости нормальная к свободной границе и равна нулю, объем смазочного слоя постоянен.

Выполнение условия равенства нулю нормальной составляющей скорости v_n к свободной границе смазочного слоя определяется уравнением

$$v_z = \frac{v_\theta}{R} \frac{d\xi}{d\theta}. \quad (6)$$

В уравнении (6) осевая v_z и азимутальная v_θ компоненты скорости на свободной границе смазочного слоя определяются формулами

$$v_z = - \frac{h^2}{12\eta} \left(\frac{\partial p}{\partial z} - \mu_0 M \frac{dH}{dz} \right) \Bigg|_{z=\xi(\theta)}, \quad (7)$$

$$v_\theta = \left(- \frac{h^3}{12\eta} \frac{1}{R} \frac{\partial p}{\partial \theta} + \frac{\omega R}{2} \right) \Bigg|_{z=\xi(\theta)}. \quad (8)$$

Условие сохранения объема смазочного слоя записывается следующим образом:

$$\int_0^{2\pi} \xi h R d\theta = \pi R C L. \quad (9)$$

Уравнения (1)–(9) необходимо дополнить двумя граничными условиями: условием периодичности

$$p(\theta, z) = p(\theta + 2\pi, z) \quad (10)$$

и условием симметрии смазочного слоя относительно центрального поперечного сечения подшипника

$$\frac{\partial p}{\partial z} \Bigg|_{\theta, z=0} = 0. \quad (11)$$

Система уравнений (1)–(11) представляет собой математическую модель магнитоожидкостного опорного подшипника скольжения.

Систему уравнений целесообразно решать в безразмерном виде. Введем следующие масштабы обезразмеривания: $[p] = \eta \omega R^2 / C^2$ — для давления, $[h] = C$ — для толщины смазочного слоя, $[H] = H_0$ — для напряженности магнитного поля, $[z] = L/2$ — для осевой координаты и свободной границы $\xi(\theta)$. Исключим из уравнений (5) и (7) слагаемые, содержащие магнитное поле, путем подстановки приведенного давления P :

$$P = p - \mu_0 M_s H \quad (12)$$

или в безразмерном виде

$$P = p - AH. \quad (13)$$

Подставив уравнения (7), (8) в формулу (5) с учетом масштабов обезразмеривания, получим систему уравнений в безразмерном виде

$$\frac{\partial}{\partial \theta} \left(h^3 \frac{\partial P}{\partial \theta} \right) + \frac{1}{\lambda^2} \frac{\partial}{\partial z} \left(h^3 \frac{\partial P}{\partial z} \right) = 6 \frac{dh}{d\theta}, \quad (14)$$

$$h = 1 + \varepsilon \cos(\theta), \quad (15)$$

$$P(\theta, z) = P(\theta + 2\pi, z), \quad (16)$$

$$P(\theta, \xi(\theta)) = \pi_0 - AH(\xi), \quad (17)$$

$$\left. \frac{\partial P}{\partial z} \right|_{\theta, z=0} = 0, \quad (18)$$

$$\frac{1}{\lambda^2} h^2 \left. \frac{\partial P}{\partial z} \right|_{z=\xi(\theta)} - \left(h^2 \left. \frac{\partial P}{\partial \theta} \right|_{z=\xi(\theta)} - 6 \right) \frac{d\xi}{d\theta} = 0, \quad (19)$$

$$\int_0^{2\pi} \xi h d\theta = 2\pi. \quad (20)$$

В формулировке, использующей приведенное давление P , влияние магнитного поля проявляется в системе уравнений (14)–(20) лишь в граничном условии (17), отражающем тот факт, что магнитное поле изменяется вдоль свободной границы смазочного слоя.

Систему уравнений (14)–(20) решаем методом разложения по малому параметру, эксцентриситету ε с точностью до членов второго порядка по ε . Решения для безразмерного поля давлений $P(\theta, z)$ и для свободной границы $\xi(\theta)$ представляются в виде

$$P = P_0 + \varepsilon P_1 + \varepsilon^2 P_2 + o(\varepsilon^3), \quad (21)$$

$$\xi = 1 + \varepsilon \xi_1 + \varepsilon^2 \xi_2 + o(\varepsilon^3), \quad (22)$$

где P_i и ξ_i , $i = 0, 1, 2$, — решения i -го порядка для давления и для свободной границы соответственно.

Функции $H(\xi)$, $P(\theta, \xi)$ и $\frac{\partial P}{\partial \theta}$, $\frac{\partial P}{\partial z}$, взятые на свободной границе, также раскладываются в ряд Тэйлора по ε с точностью до членов второго порядка. Затем, проводя необходимые подстановки и перегруппировывая слагаемые при ε^0 , ε^1 и ε^2 , приходим к трем системам дифференциальных уравнений относительно (P_0, ξ_0) , (P_1, ξ_1) и (P_2, ξ_2) . Каждое из этих уравнений решается аналитически путем разложения периодических функций P_i и ξ_i , $i = 0, 1, 2$, в ряд Фурье по θ .

Результаты и их обсуждение. Решение системы уравнений (14)–(20) имеет вид

$$P_1 = \left[6 - (6 + A_1 \psi_1) \frac{\operatorname{ch}(\lambda z)}{\operatorname{ch}(\lambda)} \right] \sin(\theta) - A_1 \varphi_1 \frac{\operatorname{ch}(\lambda z)}{\operatorname{ch}(\lambda)} \cos(\theta), \quad (23)$$

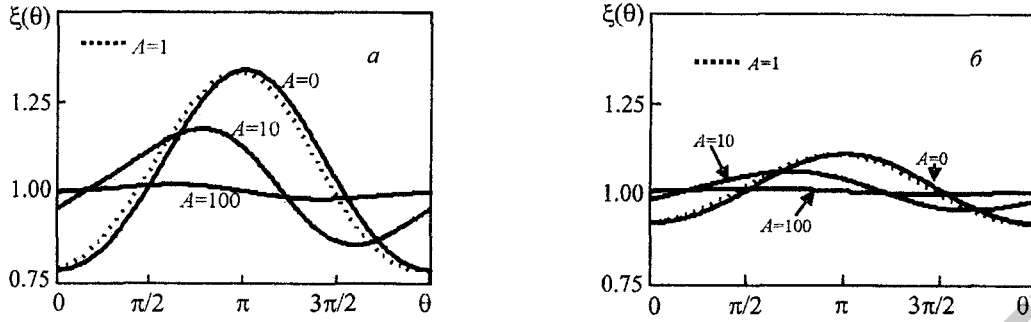


Рис. 4. Форма свободной границы смазочного слоя для различных значений параметра A , $\lambda = 0.5$ и $\varepsilon = 0.1$ (а) и $\varepsilon = 0.3$ (б)

$$\xi_1 = \varphi_1 \cos(\theta) + \psi_1 \sin(\theta), \quad (24)$$

$$P_2 = \left[\frac{3}{2} A_1 \varphi_1 \left(\frac{\text{ch}(\lambda z)}{\text{ch}(\lambda)} - 1 \right) + D_0 \right] + \left[\frac{1}{2} A_1 \varphi_1 \frac{\text{ch}(\lambda z)}{\text{ch}(\lambda)} + D_1 \frac{\text{ch}(2\lambda z)}{\text{ch}(2\lambda)} \right] \cos(2\theta) + \left[-\frac{9}{2} + \left(3 + \frac{1}{2} A_1 \psi_1 \right) \frac{\text{ch}(\lambda z)}{\text{ch}(\lambda)} + D_2 \frac{\text{ch}(2\lambda z)}{\text{ch}(2\lambda)} \right] \sin(2\theta), \quad (25)$$

$$\xi_2 = -\frac{\varphi_1}{2} + \varphi_2 \cos(2\theta) + \psi_2 \sin(2\theta). \quad (26)$$

Безразмерное приведенное давление P и свободная граница $\xi(\theta)$ смазочного слоя определяются подстановкой решений (23)–(26) в уравнения (21), (22). Суммарное безразмерное давление p находится добавлением магнитного давления $AH(z)$ к приведенному P :

$$p = \pi_0 + A [H(z) - H(1)] + \varepsilon P_1 + \varepsilon^2 P_2. \quad (27)$$

После расчета суммарного давления отделяем решения, соответствующие кавитационной области, согласно условию (4). Отметим, что в нашем решении граничное условие (3), устанавливающее атмосферное давление на свободной границе, удовлетворено лишь с точностью до членов второго порядка по ε . Это означает, что в решении уравнения давление на свободной границе не в точности равно атмосферному, а колеблется вокруг него, принимая значения третьего порядка малости: $p(\theta, \xi(\theta)) = p_0 + o(\varepsilon^3)$.

Расчитанная форма свободной границы $\xi(\theta)$ показана на рис. 4 для различных параметров A магнитного поля, параметра $\lambda = 0.5$ и эксцентриситетов $\varepsilon = 0.1$ (рис. 4, а) и $\varepsilon = 0.3$ (рис. 4, б). В отсутствие магнитного поля ($A = 0$) свободная граница имеет колоколообразную форму, симметричную относительно линии $\theta = \pi$. Кривая обладает минимумом в точке максимальной толщины смазочного слоя $\theta = 0$ и максимумом — в точке минимальной толщины слоя $\theta = \pi$. С увеличением эксцентриситета смазочный слой растягивается в направлении оси вала, увеличивая вероятность утечки. В присутствии магнитного поля свободная граница теряет свою симметрию относительно линии $\theta = \pi$ и ее максимум смещается в сторону меньших углов θ . Магнитное поле выпрямляет свободную границу, и в больших полях ($A = 100$) она стремится к прямой линии $\xi = 1$.

Оценим порядок величины давления в смазочном слое. Возьмем следующие характерные значения физических параметров: вязкость магнитной жидкости $\eta \sim 10^{-2}$ Па·с, угловая скорость вращения вала $\omega \sim 10^1 - 10^3$ рад/с, отношение $R/C \sim 10^2$, величина магнитной индукции в зазоре $\mu_0 H \sim 10^{-1} - 1$ Тл, намагниченность насыщения магнитной жидкости $M_s \sim 10^4 - 10^5$ А/м. Для данных параметров гидродинамическое давление будет порядка $P \sim \eta \omega (R/C)^2 = 10^3 - 10^5$ Па, магнитное давление $\mu_0 M_s H \sim 10^3 - 10^5$ Па того же порядка. Параметр

$$A = \frac{\mu_0 M_s H_0}{\eta \omega R^2 / C^2} \sim 10^{-2} - 10^2.$$

Для анализа распределения давления в смазочном слое удобно пользоваться относительным давлением $p - p_0$ (давление в безразмерном виде $p - \pi_0$), которое не зависит от атмосферного p_0 . При учете кавитации считается, что давление кавитации лишь немного ниже атмосферного и может быть представлено в виде $p_{\text{cav}} =$

$= p_0 - \Delta$ (в безразмерном виде $p_{cav} = \pi_0 - \delta$), где $\Delta \sim 10^2$ Па и $\delta = \frac{p_{cav}}{\eta\omega R^2/C^2} \sim 10^{-3} - 10^{-1}$ — параметр кавитации.

Поэтому относительное давление кавитации есть $p_{cav} - p_0 = -\delta < 0$. Для определенности положим $\delta = 0.05$. Заметим, что выбор данного значения произволен и не влияет на общность полученных выводов.

Распределение относительного давления в центральном поперечном сечении $z = 0$ смазочного слоя представлено на рис. 4 для различных значений магнитного параметра A , $\lambda = 0.5$ и $\epsilon = 0.3$. С возрастанием магнитного поля кривые давления смещаются вверх. Это происходит из-за того, что к гидродинамическому давлению добавляется положительное магнитное давление. Такое возрастание давления позволяет избежать кавитации в смазочном слое. Так, при $A \geq 0.4$ исчезают области с давлением ниже кавитационного, поэтому кавитации не возникает. Отметим, что магнитное поле может эффективно подавлять подсос и захват воздуха в зазор подшипника.

Выводы

1. Если отношение магнитных сил к гидродинамическим характеризуется параметром $A > 10$, то магнитное поле стремится выпрямить свободные границы смазочного слоя, что препятствует вытеканию смазки наружу.

2. Если параметр $0.5 < A < 1$, то в каждой точке смазочного слоя достигается давление выше атмосферного, что исключает кавитацию, а вместе с ней и подсос воздуха снаружи в зазор подшипника. Данное условие исключает образование пены в смазочном слое, что повышает эффективность работы подшипника.

3. Магнитное поле эффективно уменьшает кавитационную полость внутри смазочного слоя подшипника и при $A > 0.5$ подача и захват воздуха исключаются, а значит, уменьшается утечка магнитной смазки.

Обозначения

$A = \frac{\mu_0 M_s H_0}{\eta\omega R^2/C^2}$ — безразмерный параметр, характеризующий отношение магнитных сил к гидродинамическим;

$A_1 \equiv Ah_1 = A \frac{dH}{dz}(1) = -2Aa$ — параметры уравнений (23)–(25); $A_2 \equiv Ah_2 = A \frac{1}{2} \frac{d^2H}{dz^2}(1) = -Aa$ — параметры уравнений (23)–

(25); a — численный коэффициент; C — зазор подшипника, м; $D_0 = -\frac{A_2}{2}(\varphi_1^2 + \psi_1^2) + 3\lambda \operatorname{th}(\lambda)\psi_1 + \frac{A_1}{2}\lambda \operatorname{th}(\lambda)(\varphi_1^2 + \psi_1^2) +$

$+\frac{A_1}{2}\varphi_1$ — коэффициент, являющийся функцией параметра λ и параметров A_1 и A_2 ; $D_1 = -\frac{A_2}{2}(\varphi_1^2 - \psi_1^2) - 3\lambda \operatorname{th}(\lambda)\psi_1 +$

$+\frac{A_1}{2}\lambda \operatorname{th}(\lambda)(\varphi_1^2 - \psi_1^2) - \frac{A_1}{2}\varphi_1 - A_1\psi_2$ — коэффициент, являющийся функцией параметра λ и параметров A_1 и A_2 ;

$D_2 = -A_2\varphi_1\psi_1 + \frac{3}{2} + 3\lambda \operatorname{th}(\lambda)\varphi_1 + A_1\lambda \operatorname{th}(\lambda)\varphi_1\psi_1 - \frac{A_1}{2}\psi_1 - A_1\psi_2$ — коэффициент, являющийся функцией параметра λ и

параметров A_1 и A_2 ; e — эксцентриситет, м; $H = 1 - az^2$ — безразмерная напряженность магнитного поля с масштабom

обезразмеривания H_0 ; H_0 — напряженность магнитного поля на центральной окружности смазочного слоя $z = 0$, А/м; h —

толщина смазочного слоя, м; L — длина подшипника, м; M_s — намагниченность насыщения магнитной жидкости, А/м; p —

давление, Па; p_0 — атмосферное давление, Па; p_{cav} — давление кавитации, Па; R — радиус вала, м; t — время, с; z — ось вала, м; $\epsilon = e/C$ — безразмерный эксцентриситет; η — динамическая вязкость магнитной жидкости, Па·с; θ —

полярный угол, рад; $\theta_0 = \pi + \operatorname{arctg}\left(\frac{\psi_1}{\varphi_1}\right)$ — коэффициент, рад; $\theta_1 = 2 \frac{\psi_2 \cos(2\theta_0) - \varphi_2 \sin(2\theta_0)}{\varphi_1 \cos(2\theta_0) + \psi_1 \sin(2\theta_0)}$ — коэффициент, рад;

$\lambda = L/(2R)$; ν — кинематическая вязкость магнитной жидкости, Па·с; ξ — функция, описывающая форму свободной

границы; $\pi_0 = \frac{p_0}{\eta\omega R^2/C^2}$ — безразмерное атмосферное давление; $\varphi_1 = -\frac{\operatorname{th}(\lambda)}{\lambda} \frac{1}{\left(\frac{A_1}{6} \frac{\operatorname{th}(\lambda)}{\lambda}\right)^2 + 1}$ — коэффициент, являющийся

функцией параметров λ и A_1 ; $\varphi_2 = \frac{\varphi_{20} + \varphi_{21}\psi_{20}}{1 - \varphi_{21}\psi_{21}}$ — коэффициент, являющийся функцией параметров λ и A_1 ;

$\varphi_{20} = -\frac{A_1\psi_1 \operatorname{th}(\lambda)}{24} \frac{1}{\lambda} - \frac{A_1\varphi_1\psi_1}{6} - \frac{A_2\varphi_1\psi_1 \operatorname{th}(2\lambda)}{6} \frac{1}{\lambda} + \frac{1}{4} \frac{\operatorname{th}(2\lambda)}{\lambda} - \frac{A_1\psi_1 \operatorname{th}(2\lambda)}{12} \frac{1}{\lambda} + \frac{1}{2} \operatorname{th}(\lambda) \operatorname{th}(2\lambda) \varphi_1 + \frac{A_1}{6} \operatorname{th}(\lambda) \operatorname{th}(2\lambda) \varphi_1\psi_1 - \frac{1}{4} \varphi_1 -$

$-\frac{1}{4} \frac{\operatorname{th}(\lambda)}{\lambda}$ — коэффициент, являющийся функцией параметра λ и параметров A_1 и A_2 ; $\varphi_{21} = -\frac{A_1 \operatorname{th}(2\lambda)}{6} \frac{1}{\lambda}$ — коэффициент,

являющийся функцией параметров λ и A_1 ; $\psi_1 = -\frac{\frac{A_1}{6} \left(\frac{\text{th}(\lambda)}{\lambda}\right)^2}{\left(\frac{A_1}{6} \frac{\text{th}(\lambda)}{\lambda}\right)^2 + 1}$ — коэффициент, являющийся функцией параметров λ

и A_1 ; $\psi_2 = \frac{\psi_{20} + \psi_{21}\psi_{20}}{1 - \psi_{21}\psi_{20}}$ — коэффициент, являющийся функцией параметров λ и A_1 ; $\psi_{20} = \frac{A_1}{12} (\varphi_1^2 - \psi_1^2) + \frac{A_2}{12} (\varphi_1^2 - \psi_1^2) \times$
 $\times \frac{\text{th}(2\lambda)}{\lambda} + \frac{A_1\varphi_1}{12} \frac{\text{th}(2\lambda)}{\lambda} + \frac{1}{2} \text{th}(\lambda) \text{th}(2\lambda)\psi_1 - \frac{A_1}{12} \text{th}(\lambda) \text{th}(2\lambda) (\varphi_1^2 - \psi_1^2)$ — коэффициент, являющийся функцией параметра
 λ и параметров A_1 и A_2 ; $\psi_{21} = \frac{A_1}{6} \frac{\text{th}(2\lambda)}{\lambda}$ — коэффициент, являющийся функцией параметров λ и A_1 ; ω — угловая скорость
 вращения вала, рад/с. Индексы: cav — кавитация.

Литература

1. **Rosensweig R. E.** Ferrohydrodynamics. Cambridge: Cambridge University Press, 1985.
2. **Тарапов И. Е.** Движение намагничивающейся жидкости в смазочном слое цилиндрического подшипника//Магнитная гидродинамика. 1972. Т. 8, № 4. С. 19–24.
3. **Walker J. S. and Buckmaster J. D.** Ferrohydrodynamic thrust bearings//Int. J. Eng. Sci. 1979. Vol. 17. Pp. 1171–1182.
4. **Tipei N.** Theory of lubrication with ferrofluids, application to short bearing//ASME J. Lubric. Technol. 1982. Vol. 104. Pp. 510–515.
5. **Tipei N.** Overall characteristics of bearings lubricated with ferrofluids//ASME J. Lubric. Technol. 1983. Vol. 105. Pp. 466–475.
6. **Miyake S. and Takahashi S.** Sliding bearing lubricated with ferromagnetic fluid//ASLE Trans. 1985. Vol. 28. Pp. 461–466.
7. **Chang H. S., Chi C. Q., and Zhao P. Z.** A theoretical and experimental study of ferrofluid lubricated four-pocket journal bearings//J. Magn. Mater. 1987. Vol. 65. Pp. 372–374.
8. **Zhang Y.** Static characteristics of magnetized journal bearing lubricated with ferrofluid//ASME J. Tribology. 1991. Vol. 113. Pp. 533–538.
9. **Chandra P., Sinha P., and Kumar D.** Ferrofluid lubrication of a journal bearing considering cavitation//Tribol. Trans. 1992. Vol. 35, No. 1. Pp. 163–169.
10. **Osman T. A., Nada G. S., and Safar Z. S.** Static and dynamic characteristics of magnetized journal bearings lubricated with ferrofluid//Tribology Int. 2001. Vol. 34. Pp. 369–380.
11. **Shah R. C. and Bhat M. V.** Anisotropic permeable porous facing and slip velocity squeeze film in an axially undefined journal bearing with ferrofluid lubricant//J. Magn. Mater. 2004. Vol. 279. Pp. 224–230.
12. **Chen S. X., Zhang Q. D., Chong H. C., Komatsu T., and Kang C. H.** Some design and prototyping issues on a 20krpm HDD spindle motor with a ferro-fluid bearing system//IEEE Trans. Magnetics. 2001. Vol. 37, No. 2. Pp. 805–809.
13. **Zhang Q., Chen S., Winoto S. H., and Ong E.-H.** Design of high-speed magnetic fluid bearing spindle motor//IEEE Trans. Magnetics. 2001. Vol. 37, No. 4. Pp. 2647–2650.
14. **Yang J., Chen S., Zhang Q., and Liu Z.** Transient dynamic analysis of ferrofluid bearing spindle motor//Microsystem Technologies. 2002. Vol. 8. Pp. 282–288.
15. **Miwa M., Harita H., Nishigami T., Kaneko R., and Unozawa H.** Frequency characteristics of stiffness and damping effect of a ferrofluid bearing//Tribology Letters. 2003. Vol. 15, No. 2. Pp. 97–105.
16. **Ochonski W.** The attraction of ferrofluid bearings//Machine Design. 2005. Vol. 77, No. 21. Pp. 96–102.
17. **Bootsma J.** The gas-to-liquid interface of spiral groove bearings and its effect on stability//ASME J. Lubric. Technol. 1974. Vol. 96. Pp. 337–345.
18. **Lu P., Xiao D., and Zhou G.** Free boundary of journal bearing with spiral groove in HDD//Int. J. Appl. Mech. Eng. 2002. Vol. 7, No. 3. Pp. 859–874.
19. **Bootsma J.** Spherical and conical spiral groove bearings — Part I//Theory. ASME J. Lubric. Technol. 1975. Vol. 97. Pp. 236–242.